

تشخیص معاایب در اتصالات از طریق تغییرات حاصل در ضربه همبستگی و مدول برشی دینامیک در چوب راش

مصطفی کهن‌ترابی^{۱*} و مهران روح‌نیا^۲

*- نویسنده مسئول، فارغ‌التحصیل مقطع کارشناسی ارشد، گروه علوم و صنایع چوب و کاغذ، دانشگاه آزاد اسلامی واحد کرج

پست الکترونیک: mostafa.kohantorabi@yahoo.com

- دانشیار گروه علوم و صنایع چوب و کاغذ، دانشگاه آزاد اسلامی واحد کرج

تاریخ پذیرش: بهمن ۱۳۹۰ تاریخ دریافت: اسفند ۱۳۹۱

چکیده

در این تحقیق به بررسی امکان ردیابی نقص در اتصالات فارسی و انگشتی از طریق تغییرات حاصل در ضربه همبستگی و مدول برشی دینامیک پرداخته شد. تعداد ۴۲ نمونه سالم و بدون عیب ظاهری مطابق با استاندارد بین‌المللی ISO شماره ۳۱۲۹ انتخاب و پس از ایجاد دو اتصال فارسی و انگشتی در سه سطح چسب‌گذاری شده و تحت آزمون ارتعاش آزاد خمسی در تیر دوسر آزاد قرار گرفتند. نتایج نشان داد که وجود نقص در هر دو اتصال سبب تغییر در مدول برشی دینامیک می‌گردد اما از روی تغییرات ایجاد شده بر روی این فاکتور نمی‌توان به میزان نقص پی‌برد. در صورتی که از طریق تغییرات ایجاد شده در ضربه همبستگی علاوه بر وجود نقص در دو اتصال مورد تحقیق، می‌توان میزان نقص را نیز پیش‌بینی نمود.

واژه‌های کلیدی: ارتعاش خمسی، اتصال فارسی، اتصال انگشتی، مدول برشی دینامیک، ضربه همبستگی.

مقدمه

mekanikی در مواد مهندسی می‌باشند. تاکنون نظریه‌های متفاوتی در ارتباط با ساختار هندسی الاستیک چوب مطرح شده است (Bucur, 2003). البته پیچیده بودن ساختار هندسی سه‌جهته که باعث پدیدآمدن ۲۱ ثابت الاستیک در این نوع ساختار هندسی شده است را می‌توان فصل مشترک بین این نظریه‌ها دانست (Bucur, 2003). کاربرد تکنیک‌های ارتعاشی در بسیاری از ارزیابی‌های غیرمخرب به منظور تعیین مدول برشی و دیگر خواص مکانیکی چوب، دارای سابقه‌ی فراوان و طولانی

در سازه‌های چوبی، کلیه قطعات به طرق مختلف به یکدیگر وصل شده‌اند و اتصالات از بخش‌های اصلی سازه هستند (Eckelman, 2003). به‌طوری‌که کاربرد اتصالات چسبی در ساخت بسیاری از محصولات چوبی اجتناب‌ناپذیر می‌باشد. بنابراین تولید یک اتصال قابل اعتماد و نیز کنترل این اتصال در شرایط مصرف امری مهم به نظر می‌رسد (Soltis, 1997). از طرف دیگر مدول الاستیسیته و مدول برشی از معروف‌ترین پارامترهای

سبب عدم کارایی این روابط و معادلات جهت محاسبه‌ی فاکتور ذکر شده شوند. در سال‌های اخیر تأثیر معايب مختلف، بر روی ثابت‌های الاستیک چوب، توسط آزمون‌های استاتیکی و دینامیکی به طور گستردۀ‌ای، مورد بررسی قرار گرفته است. به عنوان مثال Caddemi در سال ۲۰۰۶ موفق به تشخیص وجود ترک در تیرهای الاستیک توسط آزمون استاتیکی گردید. Brancheriau در سال ۲۰۰۲ به مطالعه و آنالیز ارتعاش طبیعی تیرهای چوبی و ارزیابی خواص مکانیکی این تیرها پرداخت. وی همچنین در سال ۲۰۰۳ بر امکان درجه‌بندی و ارزیابی دقیق و با کیفیت بالا از طریق تجزیه و تحلیل مدهای ارتعاشی حاصل در هر محدوده‌ی فرکانسی تأکید نمود. استفاده‌ی مدل الاستیسیتۀ و مدلول گسیختگی، عامل منحصر به‌فرد بودن روش وی به شمار می‌رفت. در تحقیقی دیگر در سال ۲۰۰۱ به بررسی کارایی تکنیک دامنه^۱ برای ارزیابی خواص مکانیکی چوب پرداخت. آزمون جفت‌شدگی آکوستیک بین چوب و تولیدکننده‌ی سیگنال، میرایی سیگنال در چوب، تأثیر انحراف الیاف و قابلیت تجهیزات در شناسایی عیوب ساختگی (شکاف اره) از عوامل مورد مطالعه در تحقیق وی به شمار می‌رفت. نتایج نشان داد که انتشار جبهه‌ی امواج با شدت یکسان تا فاصله‌ی ۶۰ سانتی‌متری از منبع انتشار این امواج توسعه می‌یابد و بعد با افزایش فاصله، دامنه امواج کاهش پیدا می‌کند. وی همچنین اعلام کرد که فاکتور دامنه دارای حساسیت بیشتری نسبت به فاکتور سرعت انتشار به‌منظور شناسایی عیوب در چوب می‌باشد. Meinlschmidt در سال ۲۰۰۵ توسط حسگرهای گرمانگار موفق به شناسایی

(Bodig, 1982; Brancheriau, 2002; Cho 2007 and Divos 2005) می‌باشد. مزیت‌های استفاده از تکنیک ارتعاش نسبت به روش‌های استاتیک کاملاً محسوس می‌باشد. به‌طوری‌که جایگزینی این تکنیک با روش استاتیک، موجب صرفه‌جویی در زمان و هزینه‌ی مصرفی در ارزیابی خواص مکانیکی مواد می‌گردد (Chui, 1989). از طرف دیگر کاربرد تکنیک ارتعاش خمشی آزاد در تیر دو سر آزاد به طور گستردۀ و وسیعی برای برآورد مدلول‌برشی چوب مورد توجه محققان بوده است که امروزه با پیشرفت حاصل شده در تجهیزات مورد استفاده، و جایگزینی این تجهیزات با ابزار قدیمی، استفاده از این تکنیک با سهولت و همچنین استقبال بیشتری روبرو گردیده است (Cho, 2007) پیش از این تعیین مدلول‌برشی با استفاده از روش‌های استاتیک و دینامیک و مقایسه‌ی نتایج حاصل از هر روش، توسط چندین محقق مورد بررسی قرار گرفته است (Perstorper, 1994; Divos, 2005; Liang, 2007; Nzokou et al., 2006; Cho, 2007; Yang et al., 2002) تحقیقات ارتباط مناسبی بین نتایج حاصل از دو روش، برقرار کرده است. هنگامی که یک تیر در صفحات LR و LT مرتعش شود، در این حالت مقادیر مدلول‌استیسیتۀ طولی و مدلول‌برشی، با استفاده از تئوری‌های مرتبط، و از طریق استحصال فرکانس‌های وابسته به مد هر کدام از این صفحات، به دست خواهد آمد؛ این فاکتورها (مدول‌استیسیتۀ طولی و مدلول‌برشی) در هر دو صفحه‌ی LR و LT تقریباً با هم برابر می‌باشند (Roohnia, 2009). روابط و معادلات مورد استفاده در آزمون ارتعاش خمشی، برای محاسبه و برآورد مدلول‌استیسیتۀ چوب‌های کاملاً سالم کاربرد دارند و هنگامی که نمونه‌ی آزمونی معیوب باشد، به دلیل نقش معايب در کاهش همگنی نمونه‌ی آزمونی، ممکن است

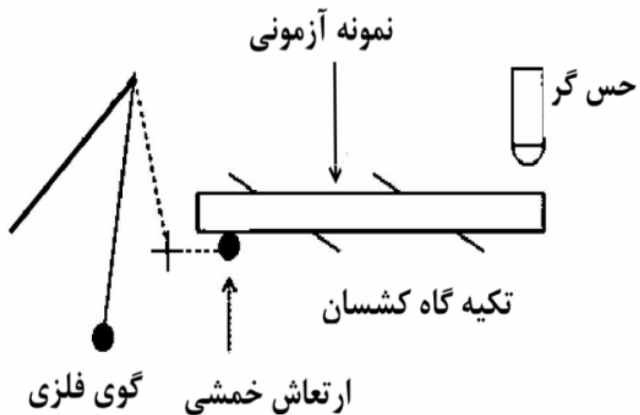
پوسیدگی و ... بر طبق استاندارد بین‌المللی ISO شماره ۳۱۲۹ با ابعاد $۴\times ۲ \times ۳۶$ سانتی‌متر (طول، عرض و ارتفاع) و با سطح مقطع مستطیلی شکل جهت انجام آزمون انتخاب شدند. نمونه‌ها به منظور یکسان‌سازی رطوبت به مدت ۲ هفته در اطاق کلیماتیزه (۲۲ درجه‌ی سانتی‌گراد حرارت و ۶۵٪ رطوبت نسبی) قرار گرفتند. پس از طی مدت مذکور به منظور اطمینان بیشتر از عاری بودن نمونه‌ها از عیوب پنهان داخلی، نمونه‌های آزمونی تحت آزمون ارتعاش خمثی آزاد در تیر دو سر آزاد قرار گرفته و براساس تئوری تیر تیموشنکو نمونه‌هایی که دارای بیشترین همبستگی (همبستگی بالای ۹۸٪) بین مدهای اول تا سوم ارتعاشی بودند برای ادامه‌ی آزمون انتخاب گردیدند. این معیار برای انتخاب نمونه‌ی آزمونی، در تحقیقات پیشین مورد استفاده قرار گرفته بود (Hosseini, 2009). بر این اساس تعداد ۴۲ نمونه از نمونه‌های اولیه حائز شرایط جهت ادامه‌ی تحقیق بوده و پس از اندازه‌گیری ابعاد و وزن، مورد آزمون ارتعاش خمثی (شکل ۱) قرار گرفتند. ضبط اصوات و ذخیره‌ی آن توسط نسخه سوم نرم‌افزار Audacity[®] انجام گردید و فایل صدا در ارتعاش خمثی توسط سیستم Roohnia, NDT-lab[®] (شکل 2009) با همان فرکانس نمونه‌برداری قرائت گردید.

۱). با ورود اطلاعات ابعاد واقعی و وزن نمونه‌ها به سیستم ذکر شده، محاسبات مربوط به محاسبه‌ی ضریب همبستگی بین سه مد اول ارتعاشی و مدول برشی، انجام شد.

عیوب در چوب و مواد بر پایه‌ی چوب گردید. روح‌نیا و همکاران در سال ۲۰۰۹ تأثیر ترکهای طولی انتهایی بر روی پارامترهای الاستیک تیرهای مستطیل شکل حاصل از گونه‌ی صنوبر (*Poplar*) را مورد بررسی قرار دادند. نتایج این تحقیق حکایت از آن داشت که در صورت تقریباً برابر بودن مدول الاستیسیته‌ی ویژه‌ی طولی در دو جهت شعاعی و مماسی (E_{LR} , E_{LT}) و نیز اندکی بزرگ‌تر بودن مدول برشی شعاعی (G_{LR}) نسبت به مدول برشی مماسی (G_{LT}) می‌توان در عاری بودن چوب‌های مورد آزمون از ترکهای طولی شدید و مؤثر اطمینان کامل داشت. در ادامه تحقیقات ذکر شده در ارتباط با آزمون‌های غیرمخرب شناسایی عیوب در چوب، تأثیر نقص در چسبندگی در دو اتصال فارسی و انگشتی به عنوان یک عیب ساختگی بر روی برآورده ضریب همبستگی بین سه مد اول ارتعاش خمثی و مدول برشی دینامیک، قابل محاسبه از طریق ارتعاش خمثی در صفحه طولی شعاعی (با توجه به ابعاد نمونه‌های به کار رفته در این تحقیق، امکان محاسبه‌ی این فاکتور فقط در صفحه‌ی ذکر شده وجود داشت) است. به عنوان موضوع اصلی این تحقیق مورد مطالعه قرار گرفته است.

مواد و روش‌ها

ابتدا تعداد ۵۰ نمونه کاملاً سالم و راست تار از درون چوب یک گرده‌بینه‌ی راش (*Fagus orientalis* L.) بدون هرگونه عیب و ایراد ظاهری، از جمله گره، ترک،



شکل ۱- ارتعاش خمثی آزاد در تیر دو سر آزاد (Berangeriau و همکاران، ۲۰۰۲)

مدولبرشی، بر اساس تئوری تیر تیمووشنکو است (Bordonne, 1989).

انجام محاسبات آزمون ارتعاش خمثی و محاسبه ضریب همبستگی سه مدل اول ارتعاش خمثی و

$$a_n = \left(\frac{E}{\rho} \right) - \left(\frac{E}{K \times G} \right) b_n \quad (1)$$

$$b_n = \frac{4\pi^2 l^2 f_n^2 F_{2n}}{m_n^4} \quad (2)$$

$$a_n = \frac{[4\pi^2 l^2 f_n^2 (1 + \alpha F_{1n})]}{\alpha m_n^4} \quad (3)$$

برای ایجاد اتصال انگشتی (تعداد ۷ انگشت در عرض نمونه) با سه سطح چسبزنی کامل چسب، متوسط چسب و ناقص چسب (جدول ۱ و شکل ۲). نمونه‌های هر گروه توسط چسب پلی‌وینیل استات^۱ با سه سطح چسبندگی ذکر شده، چسب‌گذاری شده و تا برقراری کامل اتصال درون گیره‌دستی قرار گرفته‌اند. پس از برقراری کامل اتصال، نمونه‌ها از گیره‌دستی خارج شده و به مدت ۲ هفته در

K ضریب شکل است که در اینجا حدود ۰/۸۳۳ می‌باشد. G مدولبرشی و ρ جرم ویژه و f_n فرکانس امین مد ارتعاش است که از طریق تجزیه و تحلیل طیف فوریه بدست می‌آید.

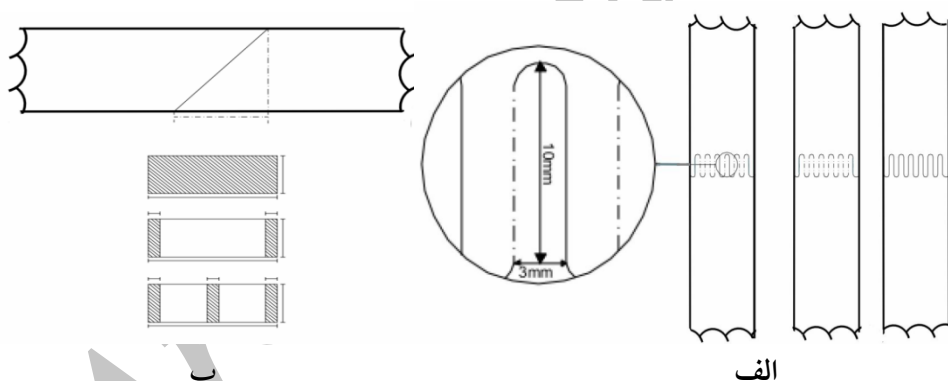
پس از آن نمونه‌ها به دو گروه ۲۱ نمونه‌ای با ۳ زیر مجموعه تقسیم شدند و هر گروه برای ایجاد یک نوع اتصال مورد استفاده قرار گرفت. گروه اول برای ایجاد اتصال فارسی با زاویه‌ی ۴۵ درجه با سه سطح چسبزنی کامل چسب، متوسط چسب و ناقص چسب و گروه دوم

چسب‌گذاری بر روی ضریب‌همبستگی بین سه مدول ارتعاش خمسمی، مدول برشی و دینامیک تیرهای اتصال یافته انجام شد.

محیط کلیماتیزه‌ی مذکور قرار گرفتند. سپس آزمون ارتعاش خمسمی آزاد بر روی نمونه‌های اتصال یافته با کیفیت ذکر شده، به منظور بررسی تأثیر سطح

جدول ۱- نوع اتصالات و سطوح چسب‌گذاری شده

نوع اتصال	سطح در دسترس جهت	سطح چسبزنی در اتصال	سطح چسبزنی در اتصال	نافض چسب
فارسی ۴۵ درجه	۵۵×۲۰	(٪۱۰۰) ۵۵×۲۰	در اتصال کامل	(mm ^۳) سطح چسب
اتصال انگشتی	۱۲۰×۲۰	(٪۱۰۰) ۱۲۰×۲۰	متوسط چسب	(mm ^۳) سطح چسبزنی در اتصال
	(٪۱۸/۲)	(٪۱۸/۲) سطح اتصال	ایجاد اتصال	(mm ^۳) نافض چسب
	۱۰×۲۰	۱۰×۲۰		(mm ^۳) سطح چسبزنی در اتصال
	۱۲۰×۲۰	(٪۱۰۰) ۱۲۰×۲۰		
	(عرض × ارتفاع)	(٪۳۳/۳)		
				(٪۱۶/۷) طرفین نمونه
				یک یال از هر انگشت
				(٪۲۷/۳)
				(٪۲۰×۵) (از طرفین نمونه)



شکل ۲- نحوه چسب‌گذاری در اتصالات: (الف) اتصال فارسی و نمای سطح در دسترس اتصال (مناطق هاشور خورده و چسب‌گذاری شده) (ب) اتصال انگشتی (خط پُر چسب‌گذاری شده و نقطه چین نواحی بدون چسب)

اتصال فارسی و انگشتی ترسیم شد و ضریب‌همبستگی خطی مربوط به آنها محاسبه شد.

نتایج

نمودارهای خطی برای بررسی تغییرات ضریب‌همبستگی (R^2) و نمودارهای پراکندگی برای بررسی مقادیر مدول برشی (G_{LR}) با توجه به نوع

جدول ۲- آزمون اثربال مدول برشی (G) و ضریب همبستگی (R^2)

Sig.	F	میانگین مربعات	درجه آزادی	مجموع مربعات	نوع
۰/۰۰۰	۱۰/۷۳۰	۱۶۷۸۶۲۱۱۰۵۳۸۳۹۳۲۰۰	۶	۱۰۰۷۷۱۷۲۶۶۳۲۳۰۳۵۹۰۰۰	G مدل
۰/۰۰۰	۹۶۲/۳۴۰	۱/۲۹۸	۶	۷/۷۹۸	R^2 تصحیح شده
۰/۰۰۰	۲۹۹۹/۴۰۰	۴۶۹۲۳۱۴۷۷۶۱۵۵۷۳۰۰۰۰۰	۱	۴۶۹۲۳۱۴۷۷۶۱۵۵۷۳۰۰۰۰۰	G عرض از مبدأ
۰/۰۰۰	۲۲۵۳۸/۴۲۱	۳۰/۴۰۳	۱	۳۰/۴۰۳	R^2
۰/۰۰۰	۷/۲۲۲	۱۱۲۹۸۹۹۳۹۶۱۶۱۶۰۰	۴	۱۰۰۷۷۱۷۲۶۶۳۲۳۰۳۵۹۰۰۰	G سطح
۰/۰۰۰	۸۴۲/۹۳۵	۱/۱۳۷	۴	۴/۵۴۸	R^2 چسب‌گذاری
-	-	۱۵۶۴۴۱۷۹۹۹۶۹۳۳۳۱۱۰	۷۷	۱۲۰۴۶۰۱۸۵۹۷۶۳۸۵۰۰۰۰۰	G خطای
-	-	۰/۰۰۱	۷۷	۰/۱۰۴	R^2
-	-	-	۸۴	۷۰۷۵۷۴۴۸۸۲۴۷۲۳۳۰۰۰۰۰	G کل
-	-	-	۸۴	۷۱/۹۲۵	R^2
-	-	-	۸۳	۲۲۱۱۷۷۴۵۲۲۹۹۴۲۰۹۰۰۰	G اصلاح کل
-	-	-	۸۳	۷/۸۹۳	R^2

بدستآمده انجام شد (جدول ۲) و توسط آزمون دانکن (جدول ۳ و ۴) دسته‌بندی این مقادیر به صورت زیر مجموعه‌های همگن مورد بررسی قرار گرفت.

آزمون آنالیز واریانس (جدول ۲) برای تعیین تأثیر نوع اتصال و میزان چسب بر روی مقادیر ضریب همبستگی بین سه مد اول ارتعاش خمی (R^2) و مدول برشی (G_{LR})

جدول ۳- گروه‌بندی دانکن ضریب همبستگی سه مد اول ارتعاش خمی اتصالات و چوب سالم (R^2)

تیمار	تعداد	زیر مجموعه برای آلفا=.۰۵	۱	۲	۳
انگشتی کم چسب	۷	۰/۱۷۴۳	-	-	-
فارسی کم چسب	۷	۰/۲۰۲۹	-	-	-
انگشتی متوسط چسب	۷	۰/۶۲۴۳	-	-	-
فارسی متوسط چسب	۷	۰/۶۴۷۱	-	-	-
انگشتی کامل چسب	۷	-	-	-	.۹۹۱۴
فارسی کامل چسب	۷	-	-	-	۰/۹۹۴۳
چوب سالم و یکپارچه	۴۲	-	-	-	۰/۹۹۸۳
Sig		۰/۱۲۵	۰/۲۱۹	۰/۷۲۷	۰/۹۹۱۴

جدول ۴ - گروه‌بندی دانکن مدولبرشی اتصالات و چوب‌سالم (G_{LR})

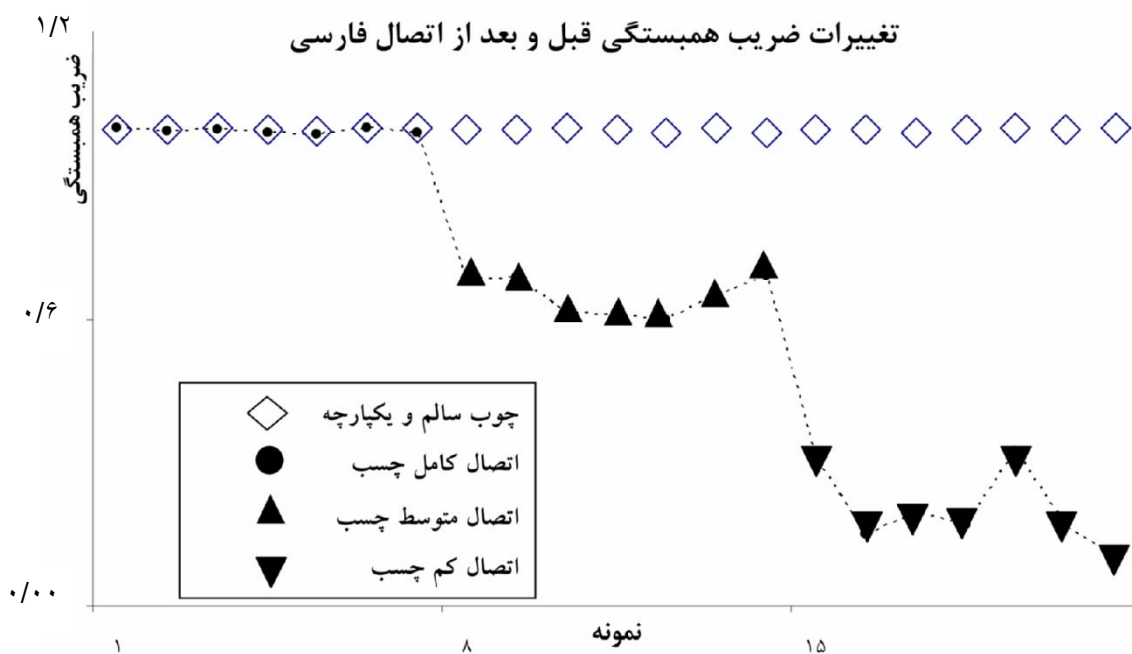
زیر مجموعه برای آلفا=.۰۵		تعداد	تیمار
۱	۲		
-	۷۰۰۲۳۳۸۶۷/۷۱	۷	انگشتی متوسط چسب
-	۷۳۹۶۹۴۱۸۷/۲۵	۷	انگشتی کم چسب
-	۷۸۰۹۴۶۵۱۳/۲۸	۷	فارسی کم چسب
-	۷۸۴۷۱۵۵۷۶/۴۲	۷	فارسی متوسط چسب
۹۵۵۸۶۷۰۱۰/۱۴	-	۷	انگشتی کامل چسب
۹۸۲۶۲۰۱۴۵/۰۰	-	۷	چوب سالم و یکپارچه
۹۸۲۸۸۰۵۶۵/۰۰	-	۴۲	فارسی کامل چسب
۰/۶۸۹	۰/۲۲۶		Sig

جدول ۵ - آزمون خطای واریانس

Sig.	درجه آزادی ۲	درجه آزادی ۱	F	
۰/۷۴۳	۷۷	۶	۰/۵۸۳	مدولبرشی
۰/۰۰۰	۷۷	۶	۱۴/۸۲۰	ضریب همبستگی

فاکتور مذکور نشده است اما با کاهش سطح چسب‌گذاری این فاکتور به طور معنی‌دار، رو به کاهش گذاشته است، به‌طوری‌که کمترین مقادیر، مربوط به اتصالات ناقص‌چسب این نوع اتصال می‌باشد.

شکل ۳ تغییرات ضریب همبستگی بین سه مرد اول ارتعاش خمسمی را در چوب‌های به‌کار رفته جهت اتصال فارسی نمایش می‌دهد. همان‌طور که پیش از این بیان گردید کلیه‌ی چوب‌های انتخاب شده برای ایجاد اتصال از ضریب همبستگی بالای ۰/۹۸ برخوردار بودند. ایجاد اتصال کامل چسب فارسی سبب تغییر معنی‌داری در



شکل ۳- تغییرات ضریب همبستگی بین سه مد اول ارتعاش خمسی قبل و بعد از اتصال فارسی با سطوح مختلف چسبندگی

جدول ۶- مقادیر کمی مدولبرشی و ضریب همبستگی در نمونه های مورد آزمون قبل از ایجاد اتصال

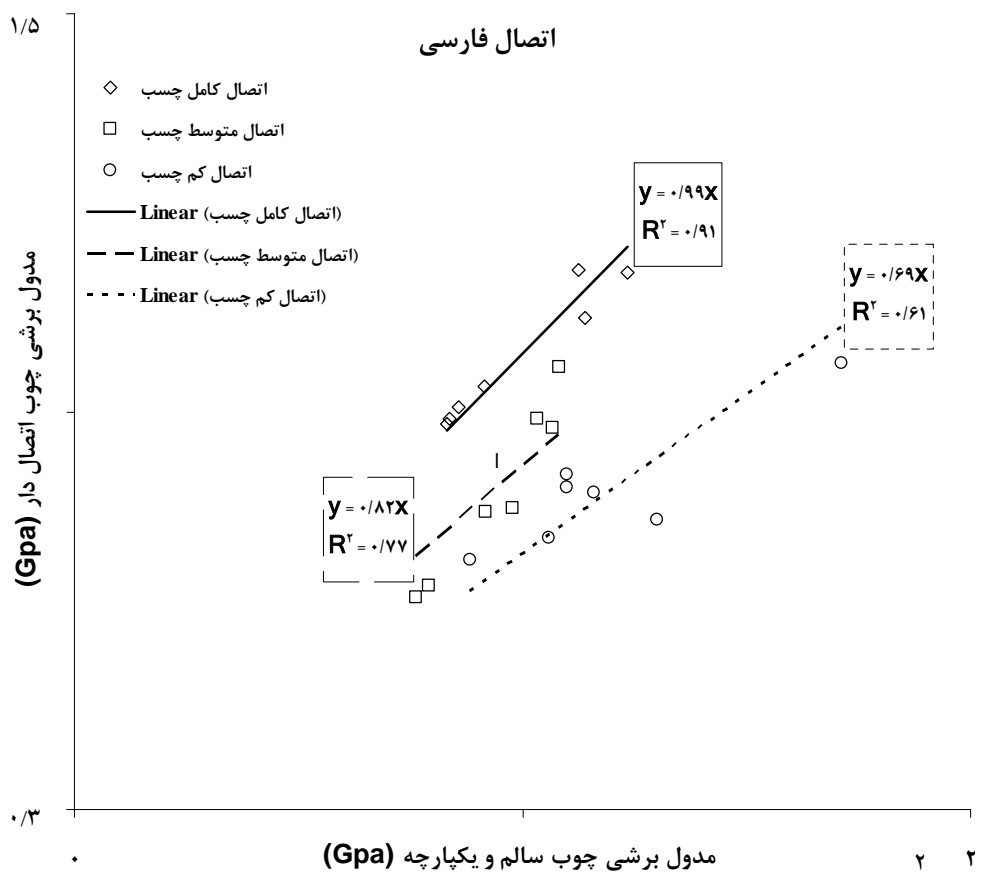
۰/۹۳	۰/۹۰	۱/۰۲	۰/۸۵	۰/۹۲	۱/۰۵	۱/۰۹	۰/۸۵	۰/۹۴	۰/۹۲	۱/۱۱	۰/۸۳	۱/۰۶	۰/۸۸
۰/۹۵	۰/۹۹	۰/۸۹	۰/۹۴	۱/۰۴	۰/۸۵	۰/۹۴	۱/۱۵	۰/۸۱	۱/۱۹	۱/۰۷	۱/۰۷	۱/۰۲	۱/۱۶
۰/۸۴	۰/۸۸	۰/۸۸	۰/۷۸	۱/۵۰	۰/۹۴	۰/۹۰	۰/۹۰	۰/۹۹	۱/۰۳	۰/۹۴	۱/۲۱	۰/۹۹	۱/۱۰
۱/۰۰	۱/۰۰	۱/۰۰	۱/۰۰	۱/۰۰	۱/۰۰	۱/۰۰	۱/۰۰	۱/۰۰	۱/۰۰	۱/۰۰	۱/۰۰	۱/۰۰	۱/۰۰
۱/۰۰	۱/۰۰	۱/۰۰	۱/۰۰	۱/۰۰	۱/۰۰	۱/۰۰	۱/۰۰	۱/۰۰	۱/۰۰	۱/۰۰	۱/۰۰	۱/۰۰	۱/۰۰
۰/۹۹	۰/۹۹	۰/۹۹	۰/۹۹	۰/۹۹	۱/۰۰	۱/۰۰	۱/۰۰	۱/۰۰	۱/۰۰	۱/۰۰	۱/۰۰	۱/۰۰	۱/۰۰

شکل ۵ تغییرات ضریب همبستگی بین سه مد اول ارتعاش خمسی را در چوب های به کار رفته برای اتصال انگشتی نمایش می دهد. ایجاد اتصال کامل چسب انگشتی نیز سبب تغییر معنی دار در فاکتور مذکور نگردیده است، اما با کاهش سطح چسب گذاری این فاکتور، به

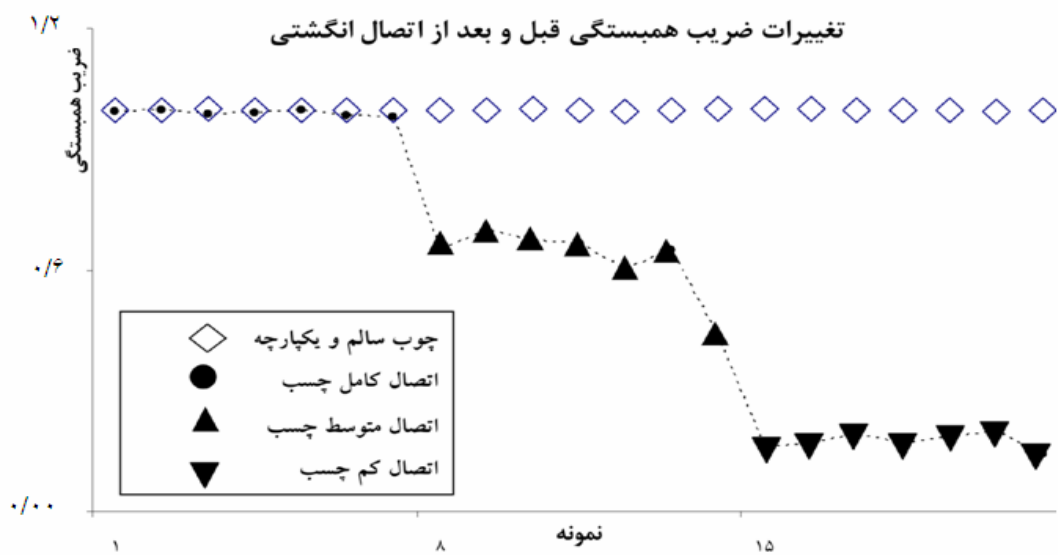
شکل ۴ تغییرات مدولبرشی را با میزان سطح چسب گذاری در اتصال فارسی به نمایش می گذارد. ایجاد اتصال فارسی کامل چسب نیز، سبب تغییر معنی داری در این فاکتور نشده است، اما کاهش سطح چسب زدنی موجب عدم همبستگی مطلوب بین نتایج حاصل گردیده است.

اتصال انگشتی به نمایش می‌گذارد. ایجاد اتصال انگشتی کامل چسب نیز، سبب تغییر معنی دار در این فاکتور نشده است، اما کاهش سطح چسب‌زنی نتایج بجز نتایج حاصل از اتصال فارسی دربرنداشته است.

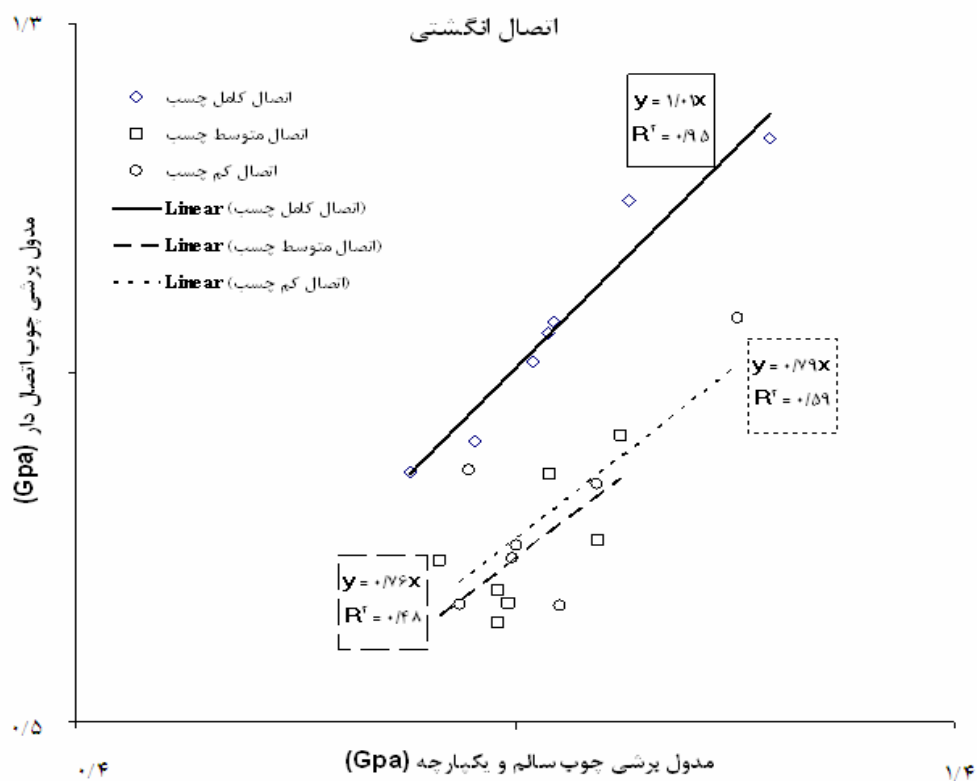
صورت معنی دار رو به کاهش گذاشته است، به طوری که کمترین مقادیر در این اتصال همانند اتصال فارسی، مربوط به اتصالات کم‌چسب می‌باشد. شکل ۶ تغییرات مدلولبرشی را با میزان سطح چسب‌گذاری در



شکل ۶- تغییرات مدلولبرشی قبل و بعد از اتصال فارسی با سطوح مختلف چسبندگی



شکل ۵- تغییرات ضریب همبستگی بین سه مد اول ارتعاش خمی قبل و بعد از اتصال انگشتی با سطوح مختلف چسبندگی



شکل ۶- تغییرات مدول برشی قبل و بعد از اتصال انگشتی با سطوح مختلف چسبندگی

جدول ۷- مقادیر کمی مدولبرشی و ضریب همبستگی در نمونه های اتصال دار مورد آزمون با سطوح مختلف چسبندگی

انگشتی ۳	انگشتی ۲	انگشتی ۱	فارسی ۳	فارسی ۲	فارسی ۱	اتصال و سطح چسب*
انگشتی ۳	انگشتی ۲	انگشتی ۱	فارسی ۳	فارسی ۲	فارسی ۱	مقادیر هر تکرار
۰/۷۷	۰/۶۵	۰/۹۵	۰/۷۸	۰/۹۷	۱/۸۸	مدولبرشی (Gpa)
۰/۱۶	۰/۶۵	۱/۰۰	۰/۳۱	۰/۶۸	۱/۰۰	ضریب همبستگی
۰/۷۰	۰/۶۴	۰/۷۹	۰/۷۴	۰/۸۹	۱/۱۱	مدولبرشی (Gpa)
۰/۱۷	۰/۷۰	۱/۰۰	۰/۱۵	۰/۶۹	۰/۹۹	ضریب همبستگی
۰/۷۹	۰/۸۳	۰/۹۶	۰/۹۷	۰/۷۵	۱/۰۴	مدولبرشی (Gpa)
۰/۱۹	۰/۶۷	۰/۹۹	۰/۲۰	۰/۶۱	۱/۰۰	ضریب همبستگی
۰/۹۶	۰/۷۸	۰/۸۲	۰/۷۱	۰/۷۵	۰/۸۹	مدولبرشی (Gpa)
۰/۱۷	۰/۶۷	۰/۹۹	۰/۱۷	۰/۶۱	۰/۹۹	ضریب همبستگی
۰/۶۹	۰/۶۸	۰/۹۱	۰/۶۸	۰/۶۴	۰/۹۱	مدولبرشی (Gpa)
۰/۱۹	۰/۶۰	۱/۰۰	۰/۳۲	۰/۶۰	۰/۹۹	ضریب همبستگی
۰/۶۳	۰/۷۱	۱/۱۷	۰/۷۸	۰/۸۸	۰/۹۴	مدولبرشی (Gpa)
۰/۲۰	۰/۶۵	۰/۹۹	۰/۱۷	۰/۶۵	۱/۰۰	ضریب همبستگی
۰/۶۳	۰/۶۱	۱/۱۰	۰/۸۱	۰/۶۲	۱/۱۱	مدولبرشی (Gpa)
۰/۱۴	۰/۴۳	۰/۹۹	۰/۱۰	۰/۶۹	۰/۹۹	ضریب همبستگی

*- ۱ سطح کامل چسب اتصال، ۲ سطح متوسط چسب اتصال و ۳ سطح کم چسب اتصال

یک پارچه ننموده است. اما با کاهش سطح چسب‌گذاری، با توجه به شکل‌های ۴ و ۶ مقادیر مدولبرشی به طور معنی‌داری نسبت به اتصالات کامل چسب کاهش یافته است (مقادیر عددی مدولبرشی در جدولهای ۶ و ۷ آورده شده است). با این حال بین مقادیر مدولبرشی دینامیک حاصل از ارتعاش اتصالات کم‌چسب و ناقص چسب هر دو نوع اتصال، تفاوت معنی‌داری مشاهده نگردید. بنابراین تغییرات حاصل شده در این فاکتور گرچه برای پی‌بردن به وجود نقص در هر دو اتصال مفید می‌باشد اما از طریق این تغییرات نمی‌توان در مورد میزان و یا پیشرفت نقص در این دو اتصال قضاوتی نمود. لازم

بحث

روش به کار برده شده برای تعیین اثر نقص در دو اتصال فارسی و انگشتی بر روی ضریب همبستگی سه مدل اول ارتعاش خمسمی (R^2) و مدولبرشی در صفحه‌ی طولی-شعاعی (G_{LR}) مورد بررسی قرار گرفت. مدولبرشی یک ویژگی از یک ماده است که به تنها بی بعد از دستکاری مصنوعی تیرهای چوبی تغییر نمی‌کند اما در این مطالعه به عنوان پاسخ تیر معرفی شده است، اگرچه پاسخ تیر تحت تأثیر قرار خواهد گرفت. در هر دو نوع اتصال فارسی و انگشتی، این فاکتور با ایجاد اتصال کامل چسب، تغییر معنی‌داری نسبت به چوب سالم و

شعاعی، می‌توان با بررسی تغییرات مدولبرشی در این صفحه به نتایج مطلوب دست پیدا نمود. اما از روی تغییرات به وجود آمده در این فاکتور، نمی‌توان در مورد میزان عیب قضاوتی نمود. در حالی که با بررسی تغییرات حاصل در ضریبهمبستگی بین سه مد اول ارتعاش خمی، علاوه بر پی‌بردن به وجود نقص‌های احتمالی موجود در این اتصالات، می‌توان به میزان نقص نیز پی‌برد. با این حال به دلیل خواص ارتوتروپیک چوب و سه محوره بودن این ماده، بررسی فاکتورهای مورد تحقیق در صفحه‌ی طولی- مماسی توصیه می‌گردد.

سپاسگزاری

این مقاله حاصل پایان‌نامه‌ی کارشناسی ارشد مؤلف اول می‌باشد. بدین‌وسیله از مسئولان محترم دانشگاه آزاد اسلامی واحد کرج که امکانات انجام تحقیقات این پایان‌نامه را تأمین نموده‌اند تشکر و قدردانی می‌گردد. همچنین از سرکار خانم مهندس آیدا مولایی (دانشجوی مقطع کارشناسی صنایع چوب و کاغذ) نیز بدلیل همکاری در این پژوهش تشکر و قدردانی می‌گردد.

منابع مورد استفاده

- بادیگ، ز.، ب.، چین.، ۱۹۸۲، مکانیک چوب و فراورده‌های مرکب آن. ترجمه دکتر قنبر ابراهیمی، ۱۳۶۸، انتشارات دانشگاه تهران. ۶۸۶ صفحه.
- Bodig, J. and Jayne, B., 1989. Mechanics of wood and wood composites (Persian translation). Tehran University press.
- Beall, F., 2000. Subsurface Sensing of Properties and Defects in Wood and Wood Products, Subsurface Sensing Technologies and Applications Vol. 1, No. 2, pp. 181-204
- Bordonné, PA., 1989. Module dynamique et frottement intérieur dans le bois: Mesures sur 249outers flottantes en vibrations naturelles Thèse de doctorat de l'INP de Lorraine soutenue à Nancy. 154 p.

به ذکر است که در تحقیقات صورت گرفته‌ی پیشین نیز هرچند وجود عیب در تیرهای چوبی باعث تغییرات معنی‌داری بر روی مدولبرشی در صفحه‌ی LR چوب گردیده بود اما تغییرات به وجود آمده مانند نتایج حاصل از این تحقیق برای قضاوت در مورد میزان عیب موجود در تیرهای چوبی از عدم کارایی برخوردار بودند (Yavari *et al.*, 2010 and Hu 2006) ضریبهمبستگی بین سه مد اول ارتعاش خمی، نیز در اتصالات کامل چسب هر دو اتصال به کار رفته در این تحقیق، نسبت به چوب سالم و یکپارچه تغییری نداشتند اما با کاهش میزان سطح چسب‌گذاری فاکتور مذکور در هر دو نوع اتصال، به صورت معنی‌دار رو به کاهش گذاشت. بنابراین با توجه به نتایج حاصل و گروه‌بندی دانکن در این فاکتور، می‌توان گفت که ضریبهمبستگی بین سه مد اول ارتعاش خمی، علاوه بر پاسخ مناسب نسبت به وجود عیب در اتصالات به کار رفته در این تحقیق، نسبت به میزان پیشرفت عیب نیز پاسخ مناسبی از خود نشان می‌دهد. در تحقیقات پیشین، کاهش ضریب همبستگی سه مد اول ارتعاش خمی را، به معیوب بودن نمونه‌های آزمونی نسبت داده‌اند ولی در مورد اثر میزان عیب بر روی میزان تغییرات به وجود آمده در فاکتور مذکور، بحثی به میان نیامده است (Hossein *et al.*, 2009). نتایج حاصل از این تحقیق ضمن تأیید نتایج حاصل از تحقیقات پیشین، مبین این می‌باشد که میزان افت ضریبهمبستگی سه مد اول ارتعاش خمی با افزایش ابعاد عیوب احتمالی موجود در تیرهای اتصال دار به طور معنی‌داری شدت می‌یابد. بنابراین، با توجه به نتایج حاصل از این تحقیق می‌توان بیان داشت که برای پی‌بردن به نقص‌های احتمالی موجود در اتصالات فارسی و انگشتی واقع در صفحه‌ی طولی-

- symposium on nondestructive testing and evaluation of wood, Beiging, China.
- Hu, C. and Afzal, M.T., 2006. A wavelet analysis-based approach for damage localization in wood beams. *Journal of Wood Science*. 52: 456 – 460.
- Liang, S. and Fu, F., 2007. Comparative study on three dynamic modulus of elasticity and static modulus of elasticity for Lodgepole pine lumber, *Journal of Forestry Research*, 18(4): pp. 309-312.
- Meinlschmidt, P., 2005. Thermographic detection of defects in wood and wood-based materials, 14th International Symposium of Nondestructive testing of Wood, Honnover, Germany (May 2nd – 4th 2005).
- Perstorper, M., 1994. Dynamic modal tests of timber evaluation according to the Euler and Timoshenko theories. In: Pellerin RF, McDonald KA, editors. 9th international symposium on nondestructive testing of wood. 22~24 September 1993; Washington State University, Pullman, WA. Forest Product Soc pp. 45-54.
- Roohnia, M., Yavari, A. and Tajdini, A., 2009. Elastic Parameters of Poplar Wood with End-Cracks, *Annals of Forest Science*, Article in-press Nondestructive Testing and Evaluation. 2011(a);26(2):141-153.
- Soltis, L. and Ritter, A.M., 1997. Mechanical Connection in Wood Structures . ASCE Manuals and Reports on Engineering Practice, New York, American Society of Particleboard. *J. Wood Sci*,45:221-226.
- Yavari, A., Roohnia, M. and Tajdini, A., 2010. A few Elastic Properties of Drilled Rectangular Bars of Poplar Wood. 'The Future of Quality Control for Wood & Wood Products', 4-7th May 2010, Edinburgh The Final Conference of COST Action E53.
- Brancherieu, L. and Bailleres, H., 2002. Natural vibration analysis of clear wooden beams: a theoretical review, *Wood Science and Technology*, 36 pp. 347-365
- Brancherieu, L. and Bailleres, H., 2003. Use of the Partial Least Squares Method with Acoustic Vibration Spectra as a New Grading Technique for Structural Timber, *Holzforschung* 57 pp. 644-652.
- Brancherieu, L., Kouchade, C. and Bremaud, I., 2010. Internal friction measurement of tropical species by various acoustic methods. *J. Wood Sci.* DOI 10.1007/s10086-010-1111-8.
- Bucur V (2003) Elastic symmetry for wood mechanical characterization, Proceeding of the WCU2003 september 7-10, Prais, France pp. 1011-1014.
- Caddemi, S. and Morassi, A., 2006. Crack detection in elastic beams by static measurements, *International Journal of Solids and Structures*, 44 – pp. 5301-5315.
- Cho, C., 2007. Comparison of Three Methods for Determining Young's Modulus of Wood, *Taiwan journal of forest science*, 22(3): pp. 297-306.
- Chui, YH., 1989. Vibration testing of wood and wooden structures-practical difficulties and possible sources of error. In: Pellerin RF, McDonald KA, editors. Seventh international symposium on nondestructive testing of wood. 27~29 September 1989; Washington State University, Pullman, WA. Forest Product Soc. Pp 173-88.
- Divos, F., Daniel, I. and Bejo, L., 2001. Defect Detection in Timber by Stress Wave Time and Amplitude, *NDT.net*, Vol. 6 No. 03.
- Divos, F. and Tanaka, T., 2005. Relation Between Static and Dynamic Modulus of Elasticity of Wood, *Acta Silv. Lign. Hung.*, Vol. 1 pp. 105-110.
- Eckelman, A., 2003. Text book of product Engineering and strength design of furniture. Purducuniv.
- Hossein, M.A., Roohnia, M. and Shahverdi, M. 2009. Some footprints of wood internal defects on three first mode-shapes of free vibration.16th international

Detection of defects in joints using the variations in dynamic shear modulus and correlation coefficient factor in beech wood

Kohantorabi, M.^{1*} and Roohnia, M.²

1*-Corresponding Author, M.Sc., Department of Wood and Paper Science and Technology, Karaj Branch, Islamic Azad University, Karaj, Iran. Email: mostafa.kohantorabi@yahoo.com

2- Associate Prof., Department of Wood and Paper Science and Technology, Karaj Branch, Islamic Azad University, Karaj, Iran.

Received: March, 2012 Accepted: Feb., 2013

Abstract

Detection, detect of damage in scarf joint and finger joint using the various in dynamic shear modulus values and correlation coefficient factor of the beech wood specimens were investigated. Forty two Samples were selected in accordance with international standard No. 3129. The Scarf and finger joints created with three different glue coverage rates in samples and then free-free flexural vibration test were performed. The results showed that defects changed the dynamic shear modulus values in both joints; however it is not possible to realize the amount of defects from these variations, whereas, the changes in correlation coefficient factor were useful to detect the amount of defects in both joints.

Key words: Flexural vibration, scarf joint, finger joint, dynamic shear modulus, correlation coefficient factor.